

УДК 531.36

О СТАЦИОНАРНЫХ ДВИЖЕНИЯХ РАВНОГРАННОГО ТЕТРАЭДРА С НЕПОДВИЖНОЙ ТОЧКОЙ В ЦЕНТРАЛЬНОМ ПОЛЕ СИЛ

© 2022 г. Е. А. Никонова^{1,*}¹ ФИЦ ИУ РАН, Москва, Россия

*e-mail: nikonova.ekaterina.a@gmail.com

Поступила в редакцию 22.05.2021 г.

После доработки 30.12.2021 г.

Принята к публикации 13.01.2022 г.

Изучаются существование, устойчивость и ветвление стационарных движений равногранного тетраэдра вокруг неподвижной точки в центральном ньютоновском поле сил. Исследуется связь этих свойств стационарных движений со свойствами стационарных движений правильного тетраэдра, естественным геометрическим обобщением которого является равногранный тетраэдр.

Ключевые слова: твердое тело с неподвижной точкой, тело в центральном гравитационном поле, теория Рауса, устойчивость и ветвление стационарных движений, равногранный тетраэдр

DOI: 10.31857/S0032823522020096

1. Введение. В [1–3] были обнаружены достаточно неожиданные динамические свойства твердого тела в форме правильного тетраэдра и других платоновых тел, совершающих движение в центральном ньютоновском поле притяжения.

Исследование “чувствительности” динамических свойств платоновых тел восходит к публикации [4], в которой предложен оригинальный подход, опирающийся на эффективное использование симметрий в распределении масс при изучении стационарных движений в задачах динамики твердого тела (см. также [5–10]). Другое направление исследований динамики тетраэдральных тел, обусловленное потребностями механики космического полета, связано с предположением о наличии в них роторов [11–13].

2. Постановка задачи и основные обозначения. Рассмотрим движение твердого тела \mathcal{T} вокруг неподвижной точки O в поле сил ньютоновского притяжения с центром в точке N . Пусть $\boldsymbol{\gamma} = (\gamma_1, \gamma_2, \gamma_3)^T$ – единичный вектор, направленный от N к O , $\mathbf{I} = \text{diag}(I_1, I_2, I_3)$ – тензор инерции тела относительно точки O , $\boldsymbol{\omega} = (\omega_1, \omega_2, \omega_3)^T$ – вектор угловой скорости тела. Здесь и далее все векторы и тензорные величины задаются в подвижной системе отсчета $Ox_1x_2x_3$, оси которой направлены вдоль главных осей инерции тела, задаваемых собственными векторами тензора инерции \mathbf{I} .

Если $U_N = U_N(\boldsymbol{\gamma})$ – потенциал силового поля, то описывающие движение уравнение Эйлера–Пуассона можно записать в виде

$$\mathbf{I}\dot{\boldsymbol{\omega}} = \mathbf{I}\boldsymbol{\omega} \times \boldsymbol{\omega} + \boldsymbol{\gamma} \times \frac{\partial U_N}{\partial \boldsymbol{\gamma}}, \quad \dot{\boldsymbol{\gamma}} = \boldsymbol{\gamma} \times \boldsymbol{\omega} \quad (2.1)$$

Помимо интеграла энергии $\mathcal{F}_0 = \frac{1}{2}(\mathbf{I}\boldsymbol{\omega}, \boldsymbol{\omega}) + U_N(\gamma) = h$ и интеграла площадей $\mathcal{F}_1 = (\mathbf{I}\boldsymbol{\omega}, \boldsymbol{\gamma}) = p_\psi$, уравнения (2.1) допускают геометрический интеграл

$$\mathcal{F}_2 = (\boldsymbol{\gamma}, \boldsymbol{\gamma}) - 1 = 0, \quad (2.2)$$

задающий в пространстве $\mathbb{R}^3(\boldsymbol{\gamma})$ т.н. сферу Пуассона \mathcal{S} .

Как известно (см., например, [14]), система (2.1) может обладать перманентными вращениями вокруг оси NO с постоянной по величине угловой скоростью $\boldsymbol{\omega}$. Положение оси перманентного вращения в теле согласно (2.1) задаются уравнениями

$$0 = \boldsymbol{\gamma} \times \left(\frac{\partial U_N}{\partial \boldsymbol{\gamma}} - \boldsymbol{\omega}^2 \mathbf{I} \boldsymbol{\gamma} \right); \quad \boldsymbol{\omega} = \text{const} \quad (2.3)$$

Замечание. Согласно теории Рауса ([15, 16], см. также [17]) эти вращения могут быть найдены как критические точки приведенного (amended) потенциала

$$U_\psi = \frac{p_\psi^2}{2I(\boldsymbol{\gamma})} + U_N(\boldsymbol{\gamma}), \quad (2.4)$$

рассмотренного как функция на сфере (2.2). Здесь $I(\boldsymbol{\gamma}) = (\mathbf{I}\boldsymbol{\gamma}, \boldsymbol{\gamma})$ – момент инерции тела относительно оси вращения. При этом постоянная интеграла площадей p_ψ и величина угловой скорости оказываются связанными соотношением $p_\psi = I(\boldsymbol{\gamma})\boldsymbol{\omega}$.

Хорошо известно, что при описании движения твердого тела в центральном поле ньютоновского притяжения, как правило, достаточно воспользоваться разложением до слагаемых первого или второго порядка малости по параметру, характеризующему отношение размеров тела к его расстоянию до притягивающего центра. Однако, в случае, когда тензор инерции тела близок к шаровому, такие приближения, вообще говоря, оказываются недостаточными. В дальнейшем в качестве примера рассмотрим движение твердого тела \mathcal{T} в виде равногранного тетраэдра с равными массами в вершинах.

3. Равногранный тетраэдр. Согласно [18], тетраэдр называется равногранным, если все грани – равные между собой треугольники. Как известно, у равногранного тетраэдра бимедианы попарно перпендикулярны и являются общими серединными перпендикулярами соответствующих скрещивающихся ребер. Пусть \mathcal{T} – тело в форме равногранного тетраэдра с равными массами m в вершинах. Будем считать, что оно совершает вращение вокруг неподвижной точки O , совпадающей с точкой пересечения бимедиан. Зададим жестко связанную с тетраэдром правую систему отсчета $Ox_1x_2x_3$ с началом в точке O и осями, направленными вдоль бимедиан. Если длины бимедиан равны $2ra_1, 2ra_2, 2ra_3$ соответственно, то вершины A, B, C и D тетраэдра \mathcal{T} в этой системе отсчета задаются радиус-векторами

$$\mathbf{r}_A = \mathbf{OA} = r(a_1, -a_2, -a_3)^T = r\mathbf{e}_A, \quad \mathbf{r}_B = \mathbf{OB} = r(-a_1, -a_2, a_3)^T = r\mathbf{e}_B$$

$$\mathbf{r}_C = \mathbf{OC} = r(-a_1, a_2, -a_3)^T = r\mathbf{e}_C, \quad \mathbf{r}_D = \mathbf{OD} = r(a_1, a_2, a_3)^T = r\mathbf{e}_D,$$

причем длины этих векторов равны

$$|\mathbf{OA}| = |\mathbf{OB}| = |\mathbf{OC}| = |\mathbf{OD}| = r$$

и имеет место связь

$$a_1^2 + a_2^2 + a_3^2 = 1 \quad (3.1)$$

Оси $Ox_1x_2x_3$ являются главными центральными осями инерции тела \mathcal{T} , в них главные центральные моменты \mathcal{J} записываются как

$$I_k = 4mr^2I'_k, \quad k = 1, 2, 3, \quad I'_1 = a_2^2 + a_3^2, \quad I'_2 = a_1^2 + a_3^2, \quad I'_3 = a_1^2 + a_2^2 \quad (3.2)$$

4. Приближенное представление потенциала поля притяжения. Пусть N – притягивающий центр, в котором сосредоточена масса M , $|\mathbf{NO}| = d$. Пусть единицы размерности выбраны так, что гравитационная постоянная, масса M , а также величина $r_* = \sqrt{d^2 + r^2}$ равны единице (ср. [19]). Тогда потенциал притяжения имеет вид

$$U_N = - \sum_{(A,B,C,D)} \rho_A^{-1}, \quad \rho_A = (1 + \varepsilon(\gamma, \mathbf{e}_A))^{1/2}, \quad \varepsilon = 2dr, \quad (4.1)$$

где (A, B, C, D) – циклическая перестановка индексов. Его разложение с точностью до членов четвертого порядка по параметру ε принимает вид

$$\begin{aligned} U_N &= U_0 + \varepsilon U_1 + \varepsilon^2 U_2 + \varepsilon^3 U_3 + \varepsilon^4 U_4 + \dots \\ U_0 &= -4 \quad U_1 = 0, \quad U_2 = -\frac{3}{2}(a_1^2\gamma_1^2 + a_2^2\gamma_2^2 + a_3^2\gamma_3^2), \quad U_3 = \frac{15}{2}a_1a_2a_3\gamma_1\gamma_2\gamma_3 \\ U_4 &= -\frac{35}{32}(a_1^4\gamma_1^4 + a_2^4\gamma_2^4 + a_3^4\gamma_3^4 + 6(a_1^2a_2^2\gamma_1^2\gamma_2^2 + a_1^2a_3^2\gamma_1^2\gamma_3^2 + a_2^2a_3^2\gamma_2^2\gamma_3^2)) \end{aligned} \quad (4.2)$$

Постоянная U_0 несущественная, она не играет роли в дальнейшем рассмотрении.

Замечание. Параметр разложения ε , предложенный ранее [19], удобно применять и в настоящем исследовании, поскольку он позволяет одновременно описывать случаи, когда тетраэдр располагается очень далеко от притягивающего центра N , и когда, наоборот, центр масс тетраэдра очень близок к притягивающему центру N .

5. Существование равновесий. Прежде всего, рассмотрим вопрос о существовании и устойчивости равновесий ($p_\psi = 0$). Если ограничиться приближением потенциала (3.2)

с точностью до членов третьего порядка с потенциалом $U' = -\frac{1}{2}((a_1^2\gamma_1^2 + a_2^2\gamma_2^2 + a_3^2\gamma_3^2) - 5\varepsilon a_1a_2a_3\gamma_1\gamma_2\gamma_3)$, то уравнения равновесий после преобразований примут вид

$$\begin{aligned} \gamma_2\gamma_3(b_3 - b_2) + \gamma_1(\gamma_3^2 - \gamma_2^2) &= 0 \\ \gamma_3\gamma_1(b_1 - b_3) + \gamma_2(\gamma_1^2 - \gamma_3^2) &= 0 \\ \gamma_1\gamma_2(b_2 - b_1) + \gamma_3(\gamma_2^2 - \gamma_1^2) &= 0, \end{aligned} \quad (5.1)$$

где

$$b_i = \frac{2}{5} \frac{a_i}{a_2a_3\varepsilon} \quad (1, 2, 3) \quad (5.2)$$

и имеют место ограничения вида

$$b_i > 0 \quad (1, 2, 3) \quad (5.3)$$

Соотношение (3.1) в параметрах b_i , $i = 1, 2, 3$, записывается как

$$\frac{1}{b_1b_2} + \frac{1}{b_2b_3} + \frac{1}{b_3b_1} = \frac{25\varepsilon^2}{4} \quad (5.4)$$

Уравнения (5.1) вместе с уравнением (2.2), выражающим единичность вектора γ , станут основным предметом дальнейшего рассмотрения.

Эти уравнения всегда обладают решениями

$$\begin{aligned}\mathcal{F}_1: \gamma_1 &= \pm 1, & \gamma_2 &= 0, & \gamma_3 &= 0 \\ \mathcal{F}_2: \gamma_1 &= 0, & \gamma_2 &= \pm 1, & \gamma_3 &= 0 \\ \mathcal{F}_3: \gamma_1 &= 0, & \gamma_2 &= 0, & \gamma_3 &= \pm 1\end{aligned}\quad (5.5)$$

Этим шести решениям отвечают перманентные вращения, на которых тетраэдр “смотрит” на притягивающий центр серединой одного из своих ребер.

Пусть все b_k различны (случай, когда две из трех величин b_k равны, рассмотрен ранее [20]). Если на искомом решении $\gamma_1 = 0$, тогда в силу первого уравнения (5.1) либо $\gamma_2 = 0$, либо $\gamma_3 = 0$, т.е. имеют место, либо решения \mathcal{F}_3 , либо решения \mathcal{F}_2 .

Далее, в предположении, что все $\gamma_k \neq 0$, систему (5.1) можно представить в виде

$$b_3 - b_2 = \frac{\gamma_1}{\gamma_2 \gamma_3} (\gamma_2^2 - \gamma_3^2) \quad (1, 2, 3)$$

или в виде

$$b_3 - b_2 = \gamma_1 \gamma_2 \gamma_3 (\gamma_3^{-2} - \gamma_2^{-2}) \quad (1, 2, 3) \quad (5.6)$$

На соотношения (5.6) можно смотреть как на уравнения относительно b_k . В этом случае говорят об *обратной задаче*. С другой стороны, на эти же соотношения можно смотреть как на уравнения относительно γ_k . В этом случае говорят о *прямой задаче*.

5.1. Решение обратной задачи. Если рассмотреть соотношения (5.6) как уравнения относительно b_k , то их решение запишется как

$$b_k = \gamma_k^{-2} \gamma_1 \gamma_2 \gamma_3 + v'; \quad v' \in \mathbb{R} \quad (5.7)$$

или в векторном виде, причем значение вещественного параметра v' должно быть таким, чтобы правые части всех трех соотношений (5.7) одновременно были неотрицательны. Иными словами, параметр v' должен отвечать той части прямой

$$\begin{pmatrix} b_1 \\ b_2 \\ b_3 \end{pmatrix} = \begin{pmatrix} \gamma_1^{-2} \gamma_1 \gamma_2 \gamma_3 \\ \gamma_2^{-2} \gamma_1 \gamma_2 \gamma_3 \\ \gamma_3^{-2} \gamma_1 \gamma_2 \gamma_3 \end{pmatrix} + v' \begin{pmatrix} 1 \\ 1 \\ 1 \end{pmatrix},$$

которая расположена в первом октанте пространства (b_1, b_2, b_3) или на его границах. Это соотношение определяет однопараметрическое семейство рассматриваемых тел, для которых существует данное, наперед заданное равновесие.

5.2. Решение прямой задачи. Если рассмотреть соотношения (4.6) как уравнения относительно γ_k , то их удобно представить как

$$\gamma_1 \gamma_2 \gamma_3 = \gamma_1^2 (b_1 + v) \quad (1, 2, 3); \quad v \in \mathbb{R} \quad (5.8)$$

Прежде всего заметим, что если, например, $v = -b_1$, то правая часть первого из уравнений (5.8) обращается в нуль, и должны обратиться в нуль левые части всех трех уравнений. В рамках сделанного предположения первое уравнение выполнено тождественно, а оставшиеся два уравнения примут вид

$$0 = \gamma_2^2 (b_2 - b_1) = \gamma_3^2 (b_3 - b_1) \quad (5.9)$$

Но тогда, принимая во внимание предположение о том, что все b_k различны, из соотношения (5.9) также имеем $\gamma_2 = \gamma_3 = 0$, и в силу геометрического интеграла (2.2) имеет место единственное решение вида \mathcal{F}_1 .

В дальнейшем будем считать, что $v \notin \{-b_1, -b_2, -b_3\}$. Перемножая левые и правые части равенств (5.8), имеем

$$\gamma_1^3 \gamma_2^3 \gamma_3^3 = \gamma_1^2 \gamma_2^2 \gamma_3^2 (b_1 + v)(b_2 + v)(b_3 + v),$$

откуда находим

$$\gamma_1 \gamma_2 \gamma_3 = (b_1 + v)(b_2 + v)(b_3 + v)$$

Подстановка найденного произведения в (5.8) позволяет представить ответ задачи в виде:

$$\gamma_k^2 = (b_1 + v)(b_2 + v)(b_3 + v)(b_k + v)^{-1}; \quad k = 1, 2, 3, \quad (5.10)$$

причем, знаки γ_k , $k = 1, 2, 3$ при извлечении квадратных корней должны удовлетворять области определения системы (5.8), то есть знаки выражений $(b_1 + v)$, $(b_2 + v)$, $(b_3 + v)$ и $\gamma_1 \gamma_2 \gamma_3$ должны быть одинаковыми.

В силу (2.2) с учетом сделанных предположений относительно параметра v он должен удовлетворять уравнению

$$\begin{aligned} & (b_1 + v)(b_2 + v)(b_3 + v)(b_1 + v)^{-1} + \\ & + (b_1 + v)(b_2 + v)(b_3 + v)(b_2 + v)^{-1} + \\ & + (b_1 + v)(b_2 + v)(b_3 + v)(b_3 + v)^{-1} = 1, \end{aligned} \quad (5.11)$$

эквивалентному квадратному относительно v уравнению

$$(b_1 + v)(b_2 + v) + (b_2 + v)(b_3 + v) + (b_3 + v)(b_1 + v) - 1 = 0,$$

представимому в виде

$$3v^2 + 2v(b_1 + b_2 + b_3) + b_1 b_2 + b_1 b_3 + b_2 b_3 - 1 = 0 \quad (5.12)$$

Дискриминант D многочлена в (5.12) всегда строго положителен:

$$\begin{aligned} D/4 &= (b_1 + b_2 + b_3)^2 - 3(b_1 b_2 + b_1 b_3 + b_2 b_3 - 1) = \\ &= \frac{1}{2} \left((b_1 - b_2)^2 + (b_1 - b_3)^2 + (b_2 - b_3)^2 \right) + 3 > 0 \end{aligned}$$

Таким образом, уравнение (5.11) имеет два вещественных корня

$$v_{\pm} = -\frac{1}{3}(b_1 + b_2 + b_3 \pm b); \quad b = \sqrt{D}/2$$

Подставляя эти значения в (5.10), в итоге имеем

$$\gamma_{1\pm}^2 = \frac{1}{9}(2b_2 - (b_1 + b_3 \pm b))(2b_3 - (b_1 + b_2 \pm b)) \quad (1, 2, 3) \quad (5.13)$$

Эти равновесия в дальнейшем обозначаются $\mathcal{F}\mathcal{F}_{\pm}$.

Замечание. Общее решение прямой задачи о перманентных вращениях также имеет вид (5.13) с той лишь разницей, что в нем

$$b_1 = \frac{2}{5} \frac{a_1}{a_2 a_3 \varepsilon} \left(1 - \frac{4}{3} \frac{r^2}{\varepsilon^2} \omega^2 \right) \quad (1, 2, 3) \quad (5.14)$$

В этом случае наличие дополнительного параметра делает параметрическое исследование решений (5.13) гораздо более сложным. Такое исследование, равно как и исследование устойчивости перманентных вращений, в работе не осуществляется.

Для определения множества значений параметров, при которых решения (5.13) существуют, выполним переход к новым параметрам

$$\delta_1 = \frac{\sqrt{3}}{3}(b_1 + b_2 + b_3), \quad \delta_2 = \frac{\sqrt{6}}{6}(2b_1 - b_2 - b_3), \quad \delta_3 = \frac{\sqrt{2}}{2}(b_2 - b_3) \quad (5.15)$$

Замечание. Переход от параметров b_i , $i = 1, 2, 3$, к параметрам δ_i , $i = 1, 2, 3$, инспирирован следующими обстоятельствами. Поверхность, задаваемая соотношением (4.4) в пространстве $\mathbb{R}^3(b_1, b_2, b_3)$ с ограничением (5.3), обладает осью симметрии с направляющим вектором $(1, 1, 1)^T$. В параметрах δ_i , $i = 1, 2, 3$ ось симметрии рассматриваемой поверхности будет иметь направляющий вектор $(0, 0, 1)^T$, а ограничение (5.3) примет простейший вид $\delta_1 > 0$. Кроме того, множества значений параметров, при которых решения (5.13) существуют, будет описываться лишь в терминах δ_2 и δ_3 , что позволяет иллюстрировать эти множества на плоскости $\mathbb{R}^2(\delta_2, \delta_3)$.

Во введенных параметрах $b = \frac{\sqrt{6}}{2} \sqrt{\delta_2^2 + \delta_3^2 + 2}$, и соотношение (5.13) принимает вид

$$\begin{aligned} \gamma_{1\pm}^2 &= \frac{1}{3}\delta_2^2 - \frac{1}{3}\delta_3^2 \pm \frac{1}{3}\delta_2\sqrt{\delta_2^2 + \delta_3^2 + 2} + \frac{1}{3} \\ \gamma_{2\pm}^2 &= -\frac{1}{6}\delta_2^2 + \frac{1}{6}\delta_3^2 - \frac{\sqrt{3}}{3}\delta_2\delta_3 \mp \frac{1}{6}(\delta_2 - \sqrt{3}\delta_3)\sqrt{\delta_2^2 + \delta_3^2 + 2} + \frac{1}{3} \\ \gamma_{3\pm}^2 &= -\frac{1}{6}\delta_2^2 + \frac{1}{6}\delta_3^2 + \frac{\sqrt{3}}{3}\delta_2\delta_3 \mp \frac{1}{6}(\delta_2 + \sqrt{3}\delta_3)\sqrt{\delta_2^2 + \delta_3^2 + 2} + \frac{1}{3} \end{aligned} \quad (5.16)$$

Для решения $\mathcal{F}\mathcal{F}_-$ правые части соотношений (5.16) неотрицательны, если выполнены неравенства

$$\begin{aligned} (\sqrt{3}\delta_2 - \delta_3)(\sqrt{3}\delta_2 + \delta_3) &\leq 2, \quad \delta_2 \leq 0 \\ \delta_3(\sqrt{3}\delta_2 + \delta_3) &\leq 1, \quad \delta_2 + \sqrt{3}\delta_3 \geq 0 \\ \delta_3(\sqrt{3}\delta_2 - \delta_3) &\geq -1, \quad \delta_2 - \sqrt{3}\delta_3 \geq 0 \end{aligned} \quad (5.17)$$

Параметр δ_1 не входит в эти условия, в то время как на плоскости параметров $\Delta = \mathbb{R}^2(\delta_2, \delta_3)$ условия (5.17) выполняются в области \mathcal{N}_- , изображенной слева на рис. 1.

Граница области \mathcal{N}_- представима в виде $\partial\mathcal{N}_- = \partial\mathcal{N}_-^1 \cup \partial\mathcal{N}_-^2 \cup \partial\mathcal{N}_-^3$. В этой области произведение $\gamma_1\gamma_2\gamma_3$ положительно и тройке $(\gamma_1^2, \gamma_2^2, \gamma_3^2)$ отвечают четыре решения $(\gamma_1, -\gamma_2, -\gamma_3)$, $(-\gamma_1, -\gamma_2, \gamma_3)$, $(-\gamma_1, \gamma_2, -\gamma_3)$, $(\gamma_1, \gamma_2, \gamma_3)$.

Аналогично для решения $\mathcal{F}\mathcal{F}_+$ правые части соотношений (5.16) неотрицательны, если параметры δ_k , $k = 1, 2, 3$ удовлетворяют неравенствам

$$\begin{aligned} (\sqrt{3}\delta_2 - \delta_3)(\sqrt{3}\delta_2 + \delta_3) &\leq 2, \quad \delta_2 \geq 0 \\ \delta_3(\sqrt{3}\delta_2 + \delta_3) &\leq 1, \quad \delta_2 + \sqrt{3}\delta_3 \leq 0 \\ \delta_3(\sqrt{3}\delta_2 - \delta_3) &\geq -1, \quad \delta_2 - \sqrt{3}\delta_3 \leq 0 \end{aligned} \quad (5.18)$$

На том же рис. 1 область \mathcal{N}_+ изображена справа. Граница области \mathcal{N}_+ представима в виде $\partial\mathcal{N}_+ = \partial\mathcal{N}_+^1 \cup \partial\mathcal{N}_+^2 \cup \partial\mathcal{N}_+^3$. В этой области $\gamma_1\gamma_2\gamma_3 < 0$ и тройке $(\gamma_1^2, \gamma_2^2, \gamma_3^2)$ отвечают четыре решения $(-\gamma_1, \gamma_2, \gamma_3)$, $(\gamma_1, \gamma_2, -\gamma_3)$, $(\gamma_1, -\gamma_2, \gamma_3)$, $(-\gamma_1, -\gamma_2, -\gamma_3)$.

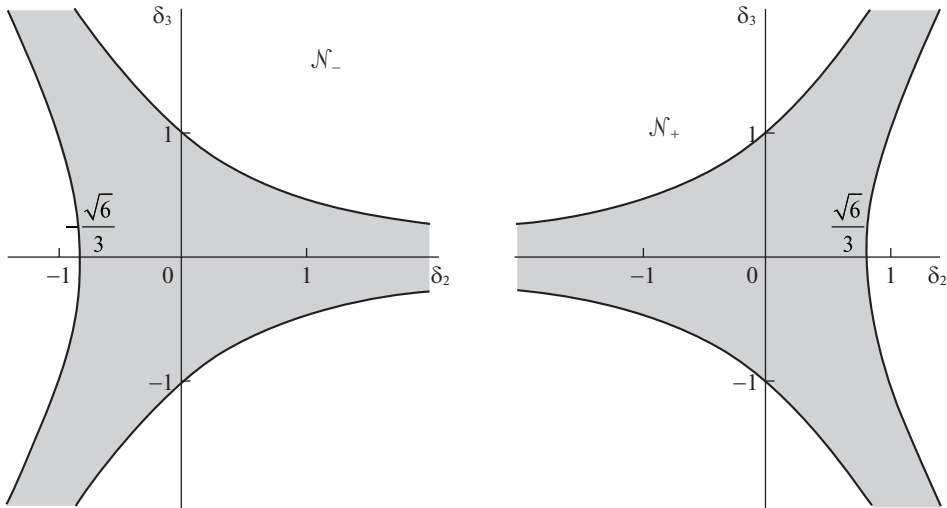


Рис. 1.

Замечание. Отметим, что границы области (5.17) переходят друг в друга при повороте на 120° около точки $(0, 0)$. Это же верно и для границ области (5.18). Сами же области (5.17) и (5.18) переходят друг в друга при отражении координат относительно оси $\delta_2 = 0$.

6. Устойчивость равновесий. Для исследования достаточных условий устойчивости равновесий, следуя методу Рауса ([15, 16], см. также [17]), выпишем функцию

$$W = \sqrt{3}\delta_1 U' + \frac{\lambda}{2}(\gamma_1^2 + \gamma_2^2 + \gamma_3^2 - 1) \tag{6.1}$$

и исследуем знакоопределенность ограничения ее второй вариации

$$2\delta^2 W = \left(\frac{\partial^2 W}{\partial \gamma^2} \delta \gamma, \delta \gamma \right); \quad \delta \gamma = (\delta \gamma_1, \delta \gamma_2, \delta \gamma_3)^T \tag{6.2}$$

на линейное многообразие

$$\gamma_1 \delta \gamma_1 + \gamma_2 \delta \gamma_2 + \gamma_3 \delta \gamma_3 = 0 \tag{6.3}$$

Неопределенный множитель Лагранжа λ в общем случае имеет вид

$$\begin{aligned} \lambda = & \frac{\sqrt{3}}{3}(\delta_1 + \sqrt{2}\delta_2)\gamma_1^2 + \frac{\sqrt{6}}{6}(\sqrt{2}\delta_1 - \delta_2 + \sqrt{3}\delta_3)\gamma_2^2 + \\ & + \frac{\sqrt{6}}{6}(\sqrt{2}\delta_1 - \delta_2 - \sqrt{3}\delta_3)\gamma_3^2 - 3\gamma_1\gamma_2\gamma_3 \end{aligned}$$

Вторые производные

$$W_{ij} = W_{ji} = \frac{\partial^2 W}{\partial \gamma_i \partial \gamma_j}$$

имеют вид

$$W_{11} = -\frac{\sqrt{3}}{3}(\delta_1 + \sqrt{2}\delta_2) + \lambda, \quad W_{22} = -\frac{\sqrt{6}}{6}(\sqrt{2}\delta_1 - \delta_2 + \sqrt{3}\delta_3) + \lambda$$

$$W_{33} = -\frac{\sqrt{6}}{6}(\sqrt{2}\delta_1 - \delta_2 - \sqrt{3}\delta_3) + \lambda$$

$$W_{12} = \gamma_3 \quad (1, 2, 3)$$

6.1. *Тривиальные решения.* Рассмотрим вопрос об устойчивости равновесий \mathcal{F}_k из (5.5).

На равновесии \mathcal{F}_1 неопределенный множитель $\lambda = \frac{\sqrt{3}}{3}(\delta_1 + \sqrt{2}\delta_2)$, а линейное многообразие (6.3) имеет вид $\delta\gamma_1 = 0$. Ограничение квадратичной формы на это линейное многообразие записывается как

$$2\delta^2 W|_{\mathcal{F}_1} = \frac{\sqrt{2}}{2}(\sqrt{3}\delta_2 - \delta_3)\delta\gamma_2^2 + \frac{\sqrt{2}}{2}(\sqrt{3}\delta_2 + \delta_3)\delta\gamma_3^2 \pm 2\delta\gamma_2\delta\gamma_3 \quad (6.4)$$

Если $\delta_2 > 0$ и $3\delta_2^2 - \delta_3^2 - 2 > 0$, то квадратичная форма (5.4) положительно определена, степень неустойчивости $\chi = 0$ и равновесие \mathcal{F}_1 устойчиво. Если $3\delta_2^2 - \delta_3^2 - 2 < 0$, то квадратичная форма (6.4) знакопеременна, $\chi = 1$, и равновесие неустойчиво. Если $\delta_2 < 0$ и $3\delta_2^2 - \delta_3^2 - 2 > 0$, то квадратичная форма (6.4) отрицательно определена, степень неустойчивости $\chi = 2$ и равновесие \mathcal{F}_1 неустойчиво.

На равновесии \mathcal{F}_2 неопределенный множитель $\lambda = \frac{\sqrt{6}}{6}(\sqrt{2}\delta_1 - \delta_2 + \sqrt{3}\delta_3)$, а линейное многообразие (6.3) имеет вид $\delta\gamma_2 = 0$. Ограничение квадратичной формы на это линейное многообразие записывается как

$$2\delta^2 W|_{\mathcal{F}_2} = \frac{\sqrt{2}}{2}(-\sqrt{3}\delta_2 + \delta_3)\delta\gamma_1^2 + \sqrt{2}\delta_3\delta\gamma_3^2 \pm 2\delta\gamma_1\delta\gamma_3 \quad (6.5)$$

Если $-\delta_2 + \sqrt{3}\delta_3 > 0$ и $-\sqrt{3}\delta_2\delta_3 + \delta_3^2 > 1$, то квадратичная форма (6.5) положительно определена, степень неустойчивости $\chi = 0$ и равновесие \mathcal{F}_2 устойчиво. Если $-\sqrt{3}\delta_2\delta_3 + \delta_3^2 < 1$, то квадратичная форма (5.5) знакопеременна, $\chi = 1$, и равновесие неустойчиво. Если $-\delta_2 + \sqrt{3}\delta_3 < 0$ и $-\sqrt{3}\delta_2\delta_3 + \delta_3^2 > 1$, то квадратичная форма (6.5) отрицательно определена, степень неустойчивости $\chi = 2$ и равновесие \mathcal{F}_2 неустойчиво.

На равновесии \mathcal{F}_3 неопределенный множитель $\lambda = -\frac{\sqrt{2}}{2}(\sqrt{3}\delta_2 + \delta_3)$, а линейное многообразие (6.3) имеет вид $\delta\gamma_3 = 0$. Ограничение квадратичной формы на это линейное многообразие записывается как

$$2\delta^2 W|_{\mathcal{F}_3} = -\frac{\sqrt{2}}{2}(\sqrt{3}\delta_2 + \delta_3)\delta\gamma_1^2 - \sqrt{2}\delta_3\delta\gamma_2^2 \pm 2\delta\gamma_1\delta\gamma_2 \quad (6.6)$$

Если $\delta_2 + \sqrt{3}\delta_3 < 0$ и $\sqrt{3}\delta_2\delta_3 + \delta_3^2 > 1$, то квадратичная форма (6.6) положительно определена, степень неустойчивости $\chi = 0$ и равновесие \mathcal{F}_3 устойчиво. Если $\sqrt{3}\delta_2\delta_3 + \delta_3^2 < 1$, то квадратичная форма (6.6) знакопеременна, $\chi = 1$, и равновесие неустойчиво. Если $\delta_2 + \sqrt{3}\delta_3 > 0$ и $\sqrt{3}\delta_2\delta_3 + \delta_3^2 > 1$, то квадратичная форма (6.6) отрицательно определена, степень неустойчивости $\chi = 2$ и равновесие \mathcal{F}_3 неустойчиво.

Замечание. Имеет место следующая связь между устойчивостью решений и порядком в неравенстве на моменты инерции тела. Если решение устойчиво, то момент инерции, соответствующий оси $O\gamma_i$ является наименьшим — или в терминах бимедиан — бимедиана a_i — наибольшая. Если решение неустойчиво со степенью неустойчи-

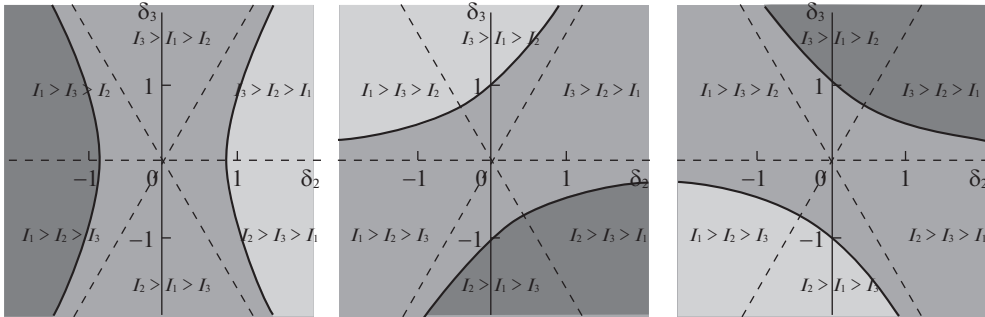


Рис. 2.

ности $\chi = 2$, то соответствующий момент инерции наибольший, и соответствующая бимедиана наименьшая. Обратное неверно, см. рис. 2, где плоскость $\mathbb{R}^2(\delta_2, \delta_3)$ с областями различных свойств устойчивости решения \mathcal{F}_1 приведена слева; для решения \mathcal{F}_2 аналогичная плоскость приведена по центру; для решения \mathcal{F}_3 — справа. Белым цветом изображены области, соответствующие устойчивому решению, светло-серым — неустойчивому решению со степенью неустойчивости $\chi = 1$ и серым — неустойчивому решению со степенью неустойчивости $\chi = 2$. Пунктирные линии разделяют области с различным порядком моментов инерции $I_k, k = 1, 2, 3$.

Замечание. Отметим, что решения \mathcal{F}_- и \mathcal{F}_+ существуют одновременно лишь для тех значений параметров, при которых все три решения $\mathcal{F}_k, k = 1, 2, 3$, неустойчивы со степенью неустойчивости $\chi = 1$.

6.2. *Общий случай.* В общем случае изучения достаточных условий устойчивости во избежание громоздкости воспользуемся восходящим к Вейерштрассу подходом, опирающимся на рассмотрение окаймленной матрицы (ср. [21–26])

$$A' = \begin{pmatrix} 0 & \frac{\partial^2 W}{\partial \lambda \partial \gamma} \\ \frac{\partial^2 W}{\partial \gamma \partial \lambda} & \frac{\partial^2 W}{\partial \gamma^2} \end{pmatrix}$$

Коэффициенты Пуанкаре σ_1 и σ_2 , определяющие знакоопределенность ограничения второй вариации (6.2) функции Рауса (6.1) на линейное многообразие (6.3), находятся из уравнения

$$P_2(\sigma) = 0, \tag{6.7}$$

где

$$P_2(\sigma) = -\det \begin{pmatrix} 0 & \gamma_1 & \gamma_2 & \gamma_3 \\ \gamma_1 & W_{11} - \sigma & W_{12} & W_{13} \\ \gamma_2 & W_{21} & W_{22} - \sigma & W_{23} \\ \gamma_3 & W_{31} & W_{32} & W_{33} - \sigma \end{pmatrix} = \sigma^2 + p_1\sigma + p_0$$

Выражения для $p_1 = p_1(\delta_2, \delta_3)$ и $p_0 = p_0(\delta_2, \delta_3)$ весьма громоздки и здесь не приводятся.

Оба корня многочлена (6.7) вещественны. При этом, если $p_0 > 0, p_1 < 0$, то эти корни положительны, степень неустойчивости равна нулю, и равновесие устойчиво по Ляпунову. Если $p_0 < 0$, то эти корни имеют разные знаки, степень неустойчивости

равна единице, и равновесие неустойчиво. Наконец, если $p_0 > 0$, $p_1 > 0$, то эти корни отрицательны, степень неустойчивости равна двум, и равновесие неустойчиво.

Для решения $\mathcal{F}\mathcal{F}_-$ коэффициенты многочлена $P_2(\sigma)$ имеют вид

$$p_0 = p_0(\delta_2, \delta_3) = \frac{2}{3} \sqrt{\delta_2^2 + \delta_3^2 + 2} \cdot \left(\delta_2 (\delta_2^2 - 3\delta_3^2) - (\delta_2^2 + \delta_3^2 - 1) \sqrt{\delta_2^2 + \delta_3^2 + 2} \right)$$

$$p_1 = p_1(\delta_2, \delta_3) = \frac{\sqrt{6}}{6} \left(\delta_2 (\delta_2^2 - 3\delta_3^2) - (\delta_2^2 + \delta_3^2 - 4) \sqrt{\delta_2^2 + \delta_3^2 + 2} \right)$$

Покажем, что неравенство $p_0 > 0$ выполнено в области \mathcal{N}_- . Выражение в скобках, определяющее знак p_0 , положительно тогда и только тогда, когда выполнена совокупность трех систем:

$$\delta_2 (\delta_2^2 - 3\delta_3^2) - (\delta_2^2 + \delta_3^2 - 1) \sqrt{\delta_2^2 + \delta_3^2 + 2} > 0 \Leftrightarrow$$

$$\left[\begin{array}{l} 1. \left\{ \begin{array}{l} \delta_2 (\delta_2^2 - 3\delta_3^2) \geq 0 \\ \delta_2^2 + \delta_3^2 - 1 < 0 \end{array} \right. \\ 2. \left\{ \begin{array}{l} \delta_2 (\delta_2^2 - 3\delta_3^2) < 0 \\ \delta_2^2 + \delta_3^2 - 1 < 0 \\ (1 - \delta_2^2 - \delta_3^2) \sqrt{\delta_2^2 + \delta_3^2 + 2} > \delta_2 (3\delta_3^2 - \delta_2^2) \end{array} \right. \\ 3. \left\{ \begin{array}{l} \delta_2 (\delta_2^2 - 3\delta_3^2) \geq 0 \\ \delta_2^2 + \delta_3^2 - 1 \geq 0 \\ \delta_2 (\delta_2^2 - 3\delta_3^2) > (\delta_2^2 + \delta_3^2 - 1) \sqrt{\delta_2^2 + \delta_3^2 + 2} \end{array} \right. \end{array} \right.$$

На плоскости $\mathbb{R}^2(\delta_2, \delta_3)$ системы 1, 2, 3 выделяют области, изображенные на рис. 3 слева. Решениям первой системы отвечают светло-серые области, второй системы – серые и третьей системы – темно-серые области. Таким образом, совокупность систем выполнена для любых (δ_2, δ_3) из внутренних точек области \mathcal{N}_- . На границе области коэффициент p_0 обращается в нуль.

Для определения знака коэффициента p_1 заметим, что

$$p_1(\delta_2, \delta_3) = \frac{\sqrt{6}}{4} \frac{p_0(\delta_2, \delta_3) + 2(\delta_2^2 + \delta_3^2 + 2)}{\sqrt{\delta_2^2 + \delta_3^2 + 2}}$$

Из этого представления понятно, что $p_1(\delta_2, \delta_3) > 0$ для любых (δ_2, δ_3) из области \mathcal{N}_- .

Итак, внутри области \mathcal{N}_- оба коэффициента p_0 и p_1 положительны, следовательно решение $\mathcal{F}\mathcal{F}_-$ при этих значениях параметров (δ_2, δ_3) неустойчиво со степенью неустойчивости $\chi = 2$. Для граничных точек области \mathcal{N}_- требуется дополнительное исследование устойчивости.

Для решения $\mathcal{F}\mathcal{F}_+$ коэффициенты многочлена $P_2(\sigma)$ имеют вид

$$p_0 = p_0(\delta_2, \delta_3) = -\frac{2}{3} \sqrt{\delta_2^2 + \delta_3^2 + 2} \left(\delta_2 (\delta_2^2 - 3\delta_3^2) + (\delta_2^2 + \delta_3^2 - 1) \sqrt{\delta_2^2 + \delta_3^2 + 2} \right)$$

$$p_1 = p_1(\delta_2, \delta_3) = \frac{\sqrt{6}}{6} \left(\delta_2 (\delta_2^2 - 3\delta_3^2) + (\delta_2^2 + \delta_3^2 - 4) \sqrt{\delta_2^2 + \delta_3^2 + 2} \right)$$

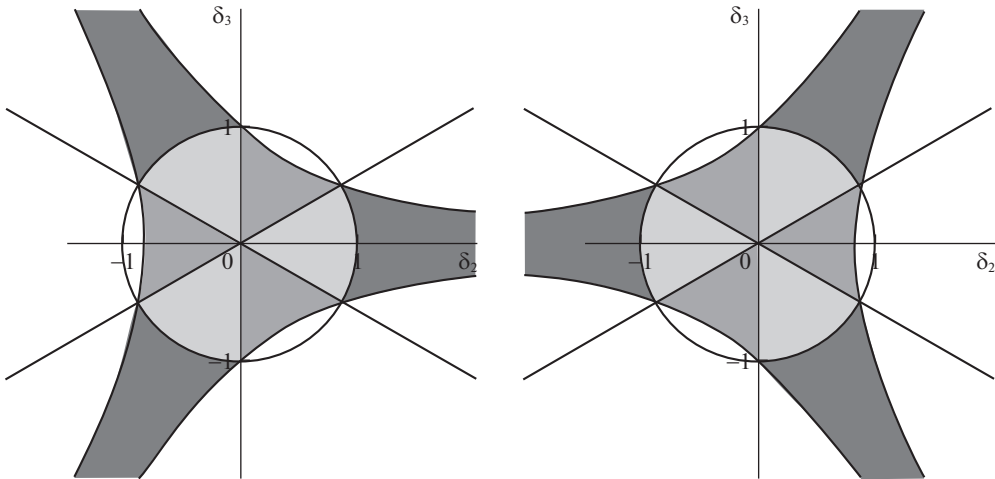


Рис. 3.

Покажем, что неравенство $p_0 > 0$ выполнено в области \mathcal{N}_+ . Выражение в скобках, определяющее знак p_0 , положительно, тогда и только тогда когда выполнена совокупность трех систем:

$$\delta_2 (\delta_2^2 - 3\delta_3^2) + (\delta_2^2 + \delta_3^2 - 1) \sqrt{\delta_2^2 + \delta_3^2 + 2} < 0 \Leftrightarrow$$

$$\left[\begin{array}{l} 1. \begin{cases} \delta_2 (\delta_2^2 - 3\delta_3^2) \leq 0 \\ \delta_2^2 + \delta_3^2 - 1 < 0 \end{cases} \\ 2. \begin{cases} \delta_2 (\delta_2^2 - 3\delta_3^2) > 0 \\ \delta_2^2 + \delta_3^2 - 1 < 0 \\ (1 - \delta_2^2 - \delta_3^2) \sqrt{\delta_2^2 + \delta_3^2 + 2} > \delta_2 (3\delta_3^2 - \delta_2^2) \end{cases} \\ 3. \begin{cases} \delta_2 (\delta_2^2 - 3\delta_3^2) \leq 0 \\ \delta_2^2 + \delta_3^2 - 1 \geq 0 \\ \delta_2 (\delta_2^2 - 3\delta_3^2) > (\delta_2^2 + \delta_3^2 - 1) \sqrt{\delta_2^2 + \delta_3^2 + 2} \end{cases} \end{array} \right.$$

На плоскости $\mathbb{R}^2(\delta_2, \delta_3)$ системы 1, 2, 3 выделяют области, проиллюстрированные на рис. 3 справа. Решениям первой системы отвечают светло-серые области, второй системы – серые и третьей системы – темно-серые области. Таким образом, совокупность систем выполнена для любых (δ_2, δ_3) из внутренних точек области \mathcal{N}_+ . На границе области коэффициент p_0 обращается в нуль.

Для определения знака коэффициента p_1 заметим, что

$$p_1(\delta_2, \delta_3) = -\frac{\sqrt{6}}{4} \frac{p_0(\delta_2, \delta_3) + 2(\delta_2^2 + \delta_3^2 + 2)}{\sqrt{\delta_2^2 + \delta_3^2 + 2}}$$

Из этого представления понятно, что $p_1(\delta_2, \delta_3) < 0$ для любых (δ_2, δ_3) из области \mathcal{N}_+ .

Итак, внутри области \mathcal{N}_+ коэффициент p_0 положительный, а p_1 – отрицательный, следовательно решение \mathcal{F}_+ устойчиво при этих значениях параметров (δ_2, δ_3) , степень неустойчивости $\chi = 0$. Для граничных точек области \mathcal{N}_+ требуется дополнительное исследование устойчивости.

Замечание. Общие методы, касающиеся распределения свойств устойчивости вдоль ветвей стационарного движения, а также устойчивости стационарных движений, отвечающих точкам бифуркации, разработаны в [27, 28].

Замечание. Задача о существовании равновесий и перманентных вращений решается единообразно. Этого нельзя сказать о задаче устойчивости, которая сводится к анализу второй вариации приведенного потенциала (2.4), рассмотренного как функция на сфере (2.2). Исключение составляют перманентные вращения \mathcal{F}_k , $k = 1, 2, 3$, вокруг бимедиан из (6.5). В этом случае согласно теории, развитой в [29], рассуждение из разд. 6.1 остаются справедливыми и для перманентных вращений. При этом коэффициенты b_k в условиях устойчивости определяются соотношениями (5.14).

7. О чувствительности равновесий к степени приближения гравитационного потенциала. К отысканию равновесий можно подходить, опираясь на введение новых переменных (ср. [30, 31]). Так если в качестве таких переменных использовать величины

$$g_1 = \gamma_1^2 + \gamma_2^2 + \gamma_3^2, \quad g_2 = a_1^2 \gamma_1^2 + a_2^2 \gamma_2^2 + a_3^2 \gamma_3^2, \quad g_3 = \gamma_1 \gamma_2 \gamma_3, \quad (7.1)$$

“обязанные” своим происхождением геометрическому интегралу и первым двум нетривиальным слагаемым в разложении потенциала, то сам потенциал примет вид

$$U_N = \varepsilon^2 u_N, \quad u_N = -\frac{3}{2} g_2 + \frac{15}{2} \varepsilon a_1 a_2 a_3 g_3 - \frac{35}{32} \varepsilon^2 u_4(g_1, g_2, g_3) + \dots \quad (7.2)$$

Пусть

$$w = u_N + \lambda(g_1 - 1)$$

Тогда уравнения равновесий примут вид

$$\begin{aligned} \frac{\partial w}{\partial g_1} &= \lambda + \frac{\partial u_4}{\partial g_1} + \dots = 0 \\ \frac{\partial w}{\partial g_2} &= -\frac{3}{2} \left(1 - 5\varepsilon^2 \frac{\partial u_4}{\partial g_2} + \dots \right) = 0 \\ \frac{\partial w}{\partial g_3} &= \frac{15}{2} \varepsilon a_1 a_2 a_3 \left(1 - \frac{7}{48} \varepsilon \frac{\partial u_4}{\partial g_3} + \dots \right) = 0 \\ \frac{\partial w}{\partial \lambda} &= g_1 - 1 = 0 \end{aligned} \quad (7.3)$$

Эти уравнения несовместны при достаточно малых значениях $\varepsilon \neq 0$, так как при выполнении этого условия уравнение (7.3) решения не имеет. Таким образом, равновесия имеют место лишь там, где замена $(\gamma_1, \gamma_2, \gamma_3) \rightarrow (g_1, g_2, g_3)$ вырождена, т.е. в тех точках, для которых якобиан

$$\mathcal{J} = \frac{\partial(g_1, g_2, g_3)}{\partial(\gamma_1, \gamma_2, \gamma_3)} \equiv 4\mathcal{F}'$$

равен нулю, т.е. выполнено условие.

$$\mathcal{F}' = \gamma_1^2 (\gamma_3^2 - \gamma_2^2) a_1^2 + \gamma_2^2 (\gamma_1^2 - \gamma_3^2) a_2^2 + \gamma_3^2 (\gamma_2^2 - \gamma_1^2) a_3^2 = 0 \quad (7.4)$$

Нетрудно убедиться, что все найденные выше решения удовлетворяют равенству (7.4), определяющему поверхность в пространстве $\mathbb{R}^3(\gamma)$.

Замечание. При доказательстве данного утверждения явный вид зависимости $u_4 = u_4(g_1, g_2, g_3)$ не понадобился.

Выводы. Для твердого тела в форме равногранного тетраэдра, подвешенного в центре масс, выполнен параметрический анализ существования и устойчивости равновесий в центральном ньютоновском поле сил. Таким образом, прояснены вопросы, касающиеся установленных ранее [1, 2] свойств равновесий правильного тетраэдра, для которого равногранный тетраэдр является естественным обобщением, наследующим некоторые из дискретных симметрий. В дальнейшем естественно ставить вопрос о свойствах относительных равновесий равногранных тетраэдров на круговой орбите и о свойствах точек либрации равномерно вращающихся равногранных тетраэдров.

Выполнение аналогичного анализа равновесий для тетраэдров общего вида, вероятно, потребует разработки иных подходов, не опирающихся на использованные в работе свойства симметрии равногранных тетраэдров.

СПИСОК ЛИТЕРАТУРЫ

1. Суликашвили П.С. О стационарных движениях тетраэдра и октаэдра в центральном поле тяготения // В сб.: Задачи исследования устойчивости и стабилизации движения. М.: ВЦ АН СССР, 1987. С. 57–66.
2. Суликашвили П.С. Стационарные движения тел, допускающих группу симметрии правильных многогранников в ньютоновском поле сил // ПММ. 1989. Т. 53. Вып. 4. С. 582–586.
3. Burov A.A., Sulikashvili R.S. On the motion of a rigid body possessing a finite group of symmetry // Prépublication du C.E.R.M.A. Ecole Nationale des Ponts et Chaussées. 1993. № 17. P. 8.
4. Карпетян А.В., Нараленкова И.И. О бифуркации равновесий механических систем с симметричным потенциалом // ПММ. 1998. Т. 62. № 1. С. 12–21.
5. Нараленкова И.И. О ветвлении и устойчивости положений равновесия твердого тела в ньютоновском поле // В сб.: Задачи исследования устойчивости и стабилизации движения. М.: ВЦ РАН, 1995. С. 53–60.
6. Абрарова Е.В., Карпетян А.В. О стационарных движениях твердого тела в центральном гравитационном поле // ПММ. 1994. Т. 58. Вып. 5. С. 68–73.
7. Абрарова Е.В. Об устойчивости стационарных движений твердого тела в центральном поле // ПММ. 1995. Т. 59. Вып. 6. С. 947–955.
8. Буров А.А., Карпетян А.В. О движении крестообразных тел // Изв. РАН. МТТ. 1995. № 6. С. 14–18.
9. Абрарова Е.В. Об относительных равновесиях твердого тела в центральном поле // В сб.: Задачи исследования устойчивости и стабилизации движения. М.: ВЦ АН СССР, 1995. С. 3–28.
10. Абрарова Е.В., Карпетян А.В. О ветвлении и устойчивости стационарных движений и относительных равновесий твердого тела в центральном гравитационном поле // ПММ. 1996. Т. 60. Вып. 3. С. 375–387.
11. Буров А.А., Герман А.Д., Суликашвили П.С. Об орбитальном движении тетраэдра-гиростата // ПММ. 2010. Т. 74. № 4. С. 594–609.
12. Буров А.А., Герман А.Д., Суликашвили П.С. Об установившихся движениях гиростатов с равными моментами инерции в центральном поле сил // ПММ. 2011. Т. 75. № 5. С. 738–744.
13. Burov A.A., Guerman A.D., Sulikashvili R.S. Dynamics of a Tetrahedral Satellite–Gyrostata // AIP Conf. Proc. 2010. V. 1281. P. 465.
14. Рубановский В.Н., Самсонов В.А. Устойчивость стационарных движений в примерах и задачах. М.: Наука, 1988. 304 с.
15. Routh E.J. Treatise on the Stability of a Given State of Motion. Cambridge: Univ. Press, 1877. 108 p.
16. Routh E.J. The advanced part of a treatise on the dynamics of a system of rigid bodies. London: McMillan, 1884. 343 p.
17. Карпетян А.В. Устойчивость стационарных движений. М.: Эдиториал УРСС, 1998. 168 с.
18. Шарыгин И.Ф. Задачи по геометрии. Стереометрия. Сер. “Библиотечка Квант”, Вып. 31. М.: Наука, 1984. 160 с.

19. *Vashkoviak M.A.* On the stability of circular 'asteroid' orbits in an N-planetary system // *Celest. Mech.* 1976. V. 13. № 3. P. 313–324.
20. *Буров А.А., Никонова Е.А.* Установившиеся движения симметричного равногранного тетраэдра в центральном поле сил // *Изв. РАН. МТТ.* 2021. № 5. С. 152–164.
21. *Hancock H.* Lectures on the Theory of Maxima and Minima of Functions of several Variables (Weierstrass Theory), McMicken Hall, Univ. Cincinnati, 1903.
22. *Mann H.V.* Quadratic forms with linear constraints // *Am. Math. Monthly.* 1943. V. 50. № 7. P. 430–433.
23. *Шостак Р.Я.* О признаке условной определенности квадратичной формы n переменных, подчиненных линейным связям, и о достаточном признаке условного экстремума функций n переменных // *УМН.* 1954. Т. 9 (60). № 2. С. 199–206.
24. *Рубановский В.Н., Степанов С.Я.* О теореме Рауса и методе Четаева построения функций Ляпунова из интегралов уравнений движения // *ПММ.* 1969. Т. 33. Вып. 5. С. 904–912.
25. *Степанов С.Я.* Симметризация критериев знакоопределенности симметричных квадратичных форм // *ПММ.* 2002. Т. 66. Вып. 6. С. 979–987.
26. *Буров А.А.* О необходимых условиях устойчивости установившихся движений систем со связями, реализуемыми большими потенциальными силами // *ПММ.* 2004. Т. 68. № 5. С. 870–877.
27. *Возлинский В.И.* О связи бифуркаций равновесий консервативных систем с распределением устойчивости на кривой равновесий // *ПММ.* 1967. Т. 31. Вып. 2. С. 418–427.
28. *Возлинский В.И.* Об устойчивости точек ветвления равновесий // *ПММ.* 1978. Т. 42. С. 259–267.
29. *Каранетян А.В., Степанов С.Я.* О стационарных движениях и относительных равновесиях механических систем с симметрией // *ПММ.* 1996. Т. 60. Вып. 5. С. 736–743.
30. *Burov A.A., Nikonov V. I.* Stability and branching of stationary rotations in a planar problem of motion of mutually gravitating triangle and material point // *Russ. J. Nonlin. Dyn.* 2016. V. 12. № 2. P. 179–196.
31. *Буров А.А., Никонова Е.А.* Вращение равногранного тетраэдра в центральном ньютоновском поле сил: конус Штауде // *Вестн. МГУ. Сер. 1. Математика. Механика.* 2021. № 5. С. 40–46.

On Stationary Motions of an Isosceles Tetrahedron with a Fixed Point in the Central Field of Forces

E. A. Nikonova^{a,#}

^a *FRC CSC RAS, Moscow, Russia*

[#] *e-mail: nikonova.ekaterina.a@gmail.com*

The existence, stability, and branching of steady motions of an isosceles tetrahedron (disphenoid) with a fixed point in the Central Newtonian field of forces are studied. The relation of stationary motions properties with the properties of stationary motions of a regular tetrahedron, the natural geometric generalization of which is an isosceles tetrahedron, is considered.

Keywords: rigid body with a fixed point body in a Central gravitational field, Routh theory, stability and branching of steady motions, isosceles tetrahedron

REFERENCES

1. *Sulikashvili R.S.* Stationary motions of tetrahedron and octahedron in the central gravitational field // in: *Problems of Stability and Motion Stabilization.* Moscow: Vych. Zentr Akad. Nauk SSSR, 1987, pp. 57–66. (in Russian)
2. *Sulikashvili R.S.* On the stationary motions in a Newtonian field of force of a body that admits of regular polyhedron symmetry groups // *JAMM*, 1989, vol. 53, no. 4, pp. 452–456.
[https://doi.org/10.1016/0021-8928\(89\)90051-8](https://doi.org/10.1016/0021-8928(89)90051-8)

3. *Burov A.A., Sulikashvili R.S.* On the motion of a rigid body possessing a finite group of symmetry // Prépublication du C.E.R.M.A. Ecole Nationale des Ponts et Chaussées, 1993, no. 17, pp. 8.
4. *Karapetyan A.V., Naralenkova I.I.* The bifurcation of the equilibria of mechanical systems with symmetrical potential // JAMM, 1998, vol. 62, no. 1, pp. 9–17.
[https://doi.org/10.1016/S0021-8928\(98\)00021-5](https://doi.org/10.1016/S0021-8928(98)00021-5)
5. *Naralenkova I.I.* On the branching and stability of equilibrium positions of a rigid body in a Newtonian field // in: Problems of Stability and Motion Stabilization. Moscow: Vych. Zentr Akad. Nauk SSSR, 1995, pp. 53–60. (in Russian)
6. *Abrarova Ye.V., Karapetyan A.V.* Steady motions of a rigid body in a central gravitational field // JAMM, 1994, vol. 58, no. 5, pp. 825–830.
[https://doi.org/10.1016/0021-8928\(94\)90007-8](https://doi.org/10.1016/0021-8928(94)90007-8)
7. *Abrarova Ye.V.* The stability of the steady motions of a rigid body in a central field // JAMM, 1995, vol. 59, no. 6, pp. 903–910.
[https://doi.org/10.1016/0021-8928\(95\)00123-9](https://doi.org/10.1016/0021-8928(95)00123-9)
8. *Burov A.A., Karapetyan A.V.* On the motion of cruciform bodies // Mech. of Solids, 1995, no. 6, pp. 14–18. (in Russian)
9. *Abrarova Ye.V.* On the relative equilibria of a rigid body in the central field // in: Problems of Stability and Motion Stabilization. Moscow: Vych. Zentr Akad. Nauk SSSR, 1995, pp. 3–28. (in Russian)
10. *Abrarova Ye.V., Karapetyan A.V.* Bifurcation and stability of the steady motions and relative equilibria of a rigid body in a central gravitational field // JAMM, 1996, vol. 60, no. 3, pp. 369–380.
[https://doi.org/10.1016/S0021-8928\(96\)00047-0](https://doi.org/10.1016/S0021-8928(96)00047-0)
11. *Burov A.A., Guerman A.D., Sulikashvili R.S.* The orbital motion of a tetrahedral gyrostat // JAMM, 2010, vol. 74, no. 4, pp. 425–435.
<https://doi.org/10.1016/j.jappmathmech.2010.09.008>
12. *Burov A.A., Guerman A.D., Sulikashvili R.S.* The steady motions of gyrostats with equal moments of inertia in a central force field // JAMM, 2011, vol. 75, no. 5, pp. 517–521.
<https://doi.org/10.1016/j.jappmathmech.2011.11.005>
13. *Burov A.A., Guerman A.D., Sulikashvili R.S.* Dynamics of a tetrahedral satellite–gyrostat // AIP Conf. Proc., 2010, vol. 1281, pp. 465–468.
<https://doi.org/10.1063/1.3498509>
14. *Rubanovskii V.N., Samsonov V.A.* The Stability of Steady Motions in Examples and Problems. Moscow: Nauka, 1988. 304 p. (in Russian)
15. *Routh E.J.* Treatise on the Stability of a Given State of Motion. Cambridge: Univ. Press, 1877. 108 p.
16. *Routh E.J.* The advanced part of a treatise on the dynamics of a system of rigid bodies. L.: McMillan, 1884. 343 p.
17. *Karapetyan A.V.* Stability of Stationary Motions. Moscow: URSS, 1998. 168 p. (in Russian)
18. *Sharygin I.F.* Geometry problems. Stereometry // The Quantum Library. Iss. 31. Moscow: Nauka, 1984. 160 p. (in Russian)
19. *Vashkoviak M.A.* On the stability of circular 'asteroid' orbits in an N-planetary system // Celest. Mech., 1976, vol. 13, no. 3, pp. 313–324.
<https://doi.org/10.1007/BF01228649>
20. *Burov A.A., Nikonova E.A.* Steady motions of a symmetric isosceles tetrahedron in a central force field // Mech. of Solids, 2021, vol. 56, no. 5, pp. 737–747.
<http://doi.org/10.3103/S0025654421050071>
21. *Hancock H.* Lectures on the Theory of Maxima and Minima of Functions of several Variables (Weierstrass Theory), McMicken Hall, Univ. Cincinnati, 1903. 114 p.
22. *Mann H.B.* Quadratic forms with linear constraints // Am. Math. Monthly, 1943, vol. 50, no. 7, pp. 430–433.
<https://doi.org/10.1080/00029890.1943.11991413>
23. *Shostak R.Ya.* On a criterion of conditional definiteness of a quadratic form of variables, subject to linear relations, and on a sufficient condition for a conditional extremum of a function of variables // Uspekhi Mat. Nauk, 1954, vol. 9, no. 2 (60), pp. 199–206.
24. *Rubanovskii V.N., Stepanov S.Ia.* On the Routh theorem and the Chetaev method for constructing the liapunov function from the integrals of the equations of motion // JAMM, 1969, vol. 33, no 5,

- pp. 882–890.
[https://doi.org/10.1016/0021-8928\(69\)90096-3](https://doi.org/10.1016/0021-8928(69)90096-3)
25. *Stepanov S.Ya.* Symmetrization of the sign-definiteness criteria of symmetrical quadratic forms // JAMM, 2002, vol. 66, no. 6, pp. 933–941. [https://doi.org/10.1016/S0021-8928\(02\)00135-1](https://doi.org/10.1016/S0021-8928(02)00135-1)
26. *Burov A.A.* The necessary conditions for the stability of steady motions of systems with constraints produced by large potential forces // JAMM, 2004, vol. 68, no. 5, pp. 777–784.
<http://doi.org/10.1016/j.jappmathmech.2004.09.013>
27. *Vozlinskii V.I.* On the relations between the bifurcation of the equilibria of conservative systems and the stability distribution on the equilibria curve // JAMM, 1967, vol. 31, no. 2, pp. 418–427.
[https://doi.org/10.1016/0021-8928\(67\)90171-2](https://doi.org/10.1016/0021-8928(67)90171-2)
28. *Vozlinskii V.I.* On the stability of points of equilibrium branching // JAMM, 1978, vol. 42, no. 2, pp. 270–279.
[https://doi.org/10.1016/0021-8928\(78\)90143-0](https://doi.org/10.1016/0021-8928(78)90143-0)
29. *Karapetyan A.V., Stepanov S.Ya.* Steady motions and relative equilibria of mechanical systems with symmetry // JAMM, 1996, vol. 60, no. 5, pp. 729–735.
[https://doi.org/10.1016/S0021-8928\(96\)00092-5](https://doi.org/10.1016/S0021-8928(96)00092-5)
30. *Burov A.A., Nikonov V.I.* Stability and branching of stationary rotations in a planar problem of motion of mutually gravitating triangle and material point // Rus. J. Nonlin. Dyn., 2016, vol. 12, no. 2, pp. 179–196.
<https://doi.org/10.20537/nd1602002>
31. *Burov A.A., Nikonova E.A.* Rotation of isosceles tetrahedron in central newtonian force field: Staude cone // Moscow Univ. Mech. Bull., 2021, vol. 76, no. 4, pp. 123–129.
<http://doi.org/10.3103/S0027133021050034>